

TIPE

Marijan SORIC

Juin - Juillet 2021

SCEI : 20733

- Dans quelle mesure peut-on réduire l'usure du pneu en agissant sur les propriétés du caoutchouc ?
- Usure : masse de caoutchouc perdue, perte de qualité, ...

- Dans quelle mesure peut-on réduire l'usure du pneu en agissant sur les propriétés du caoutchouc ?
- Usure : masse de caoutchouc perdue, perte de qualité, ...

Introduction

Un premier article



Press Release: Pollution From Tyre Wear 1,000 Times Worse Than Exhaust Emissions



FIGURE 1 – Article introductif de Emissions Analytics

<https://www.emissionsanalytics.com/news/pollution-tyre-wear-worse-exhaust-emissions>

Introduction

Un premier article

Notre estimation de la perte de masse :

$$V_{\text{perdu}} \times \rho_{\text{caoutc}} \div l_{\text{vie}} = 0,4 \text{ g.km}^{-1}$$

Soit un rapport de : 88

En conditions normales : $0,2 \text{ g.km}^{-1}$

En conditions extrêmes : $5,8 \text{ g.km}^{-1}$

Emission de particules fines du pot d'échappement :
 $4,5 \cdot 10^{-3} \text{ g.km}^{-1}$ (norme Euro 6B)

Le pneu, un système complexe

Intervention de nombreux composants.

But : limiter l'usure en identifiant l'influence des variables.

$$U_{\text{sure}}(T, t, S, v, P, \text{caoutchouc}, \text{route}, \dots)$$

Première approche : les causes internes



FIGURE 2 – Montage expérience n°1

- Modéliser la gomme (des pneus) : analogie avec l'élastique
- Expérience n°1 : mise en évidence du phénomène d'hystérésis
- Hystérésis : rupture des chaînes de polymères

Première approche : les causes internes

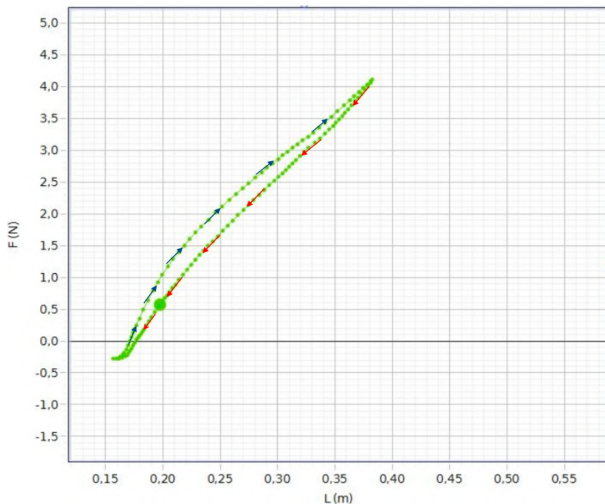


FIGURE 3 – Interface logiciel Pasco

Première approche : les causes internes

Interprétation

- Existence du phénomène : énergie dissipée
- Irréversibilité $S_c > 0$: cause de l'usure ?

Hypothèse : la déformation du caoutchouc sous les contraintes, cause de l'usure du pneumatique

Deuxième approche : interaction pneu/chaussée

Première tentative

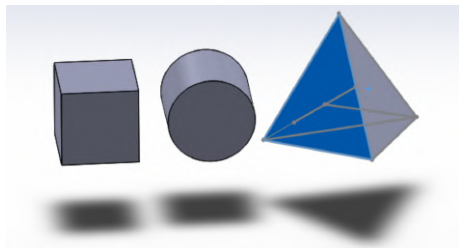


FIGURE 4 – Figures réalisées
sur SolidWorks

Forces de frottement
tangentiels via les lois de
COULOMB.

Ces forces sont-elles liées à la
surface de contact ?

$$\|\vec{R}_T\| < k_{\text{stat}} \|\vec{R}_N\|$$

$$\|\vec{R}_T\| = k_{\text{dyn}} \|\vec{R}_N\|$$

Interaction pneu/chaussée

Expérience

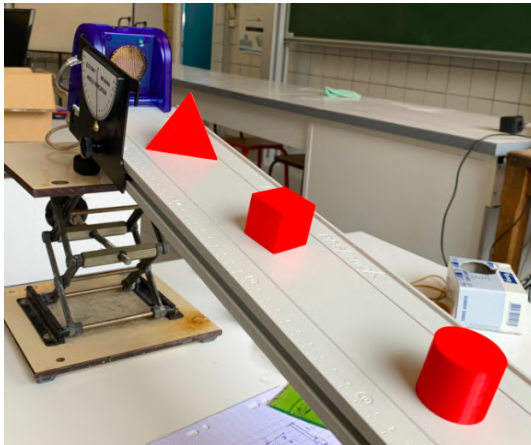


FIGURE 5 – Mise en place de l'expérience

Interaction pneu/chaussée

Calcul des coefficients

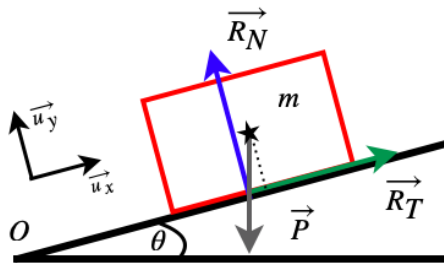


FIGURE 6 – Bilan des forces extérieures appliquées au cube

PFD :

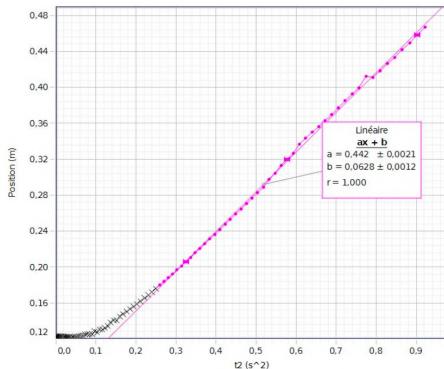
$$\begin{cases} m \frac{d^2 x(t)}{dt^2} = R_T - mg \sin(\theta) \\ 0 = R_N - mg \cos(\theta) \end{cases}$$

D'où :

$$x(t) = \frac{g}{2} (k_{\text{dyn}} \cos(\theta) - \sin(\theta)) t^2$$
$$k_{\text{stat}} = \tan(\theta_{\text{lim}})$$

Interaction pneu/chaussée

Résultats



Frottement dynamique

	dyn	stat
cube	0,41	0,23
cylindre	0,40	0,24
trièdre		0,21

FIGURE 7 – Calcul du coefficient dynamique

Interaction pneu/chaussée

Interprétation

- Vérification des lois de frottement de COULOMB. Indépendance de la superficie et de la géométrie de la surface de contact.
- Usure surfacique.
- D'où la tentative d'une nouvelle expérience (échec).



FIGURE 8 – Pneu usé par frottement sur du bois

Modèle de contact

Première piste

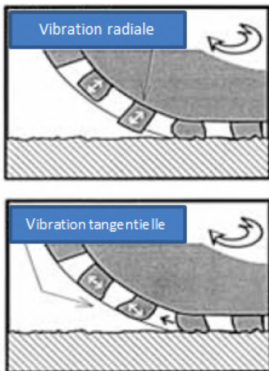


FIGURE 9 – Vibrations radiales et tangentielles

<https://tel.archives-ouvertes.fr/tel-01893845/document>

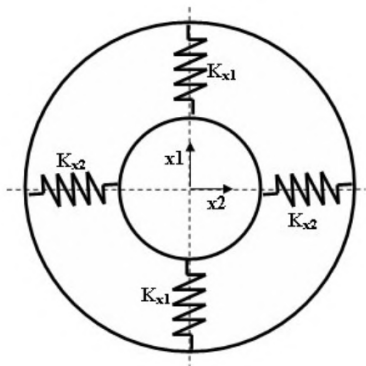
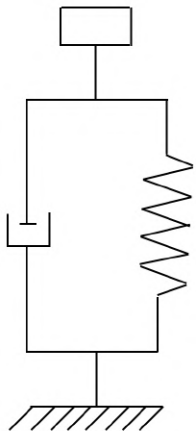


FIGURE 10 – Modélisation purement élastique des bras en caoutchouc

<https://tel.archives-ouvertes.fr/tel-01137743/document>

Modèle de contact : le caoutchouc

Utilisation du modèle rhéologique



Comportement :
matériau viscoélastique.

Modèle de KELVIN VOIGT.

Amortissement : μ

Raideur : k

FIGURE 11 – Ressort-amortisseur

Modèle de contact

Notre modèle

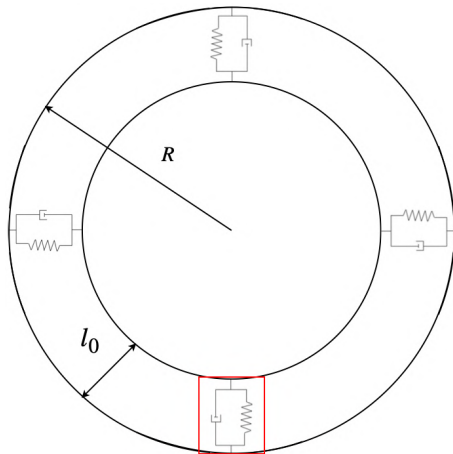


FIGURE 12 – Modélisation simplifiée du pneu

Modèle de contact

Action de pesanteur

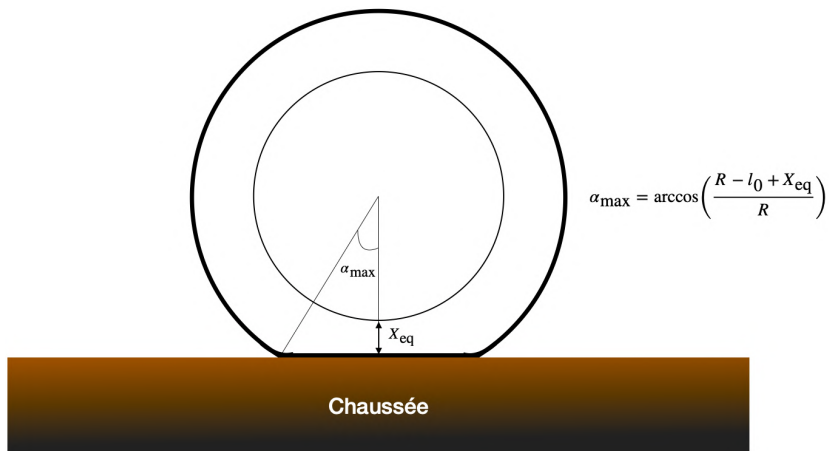


FIGURE 13 – Effet du poids sur le pneu

Modèle de contact

Action de pesanteur

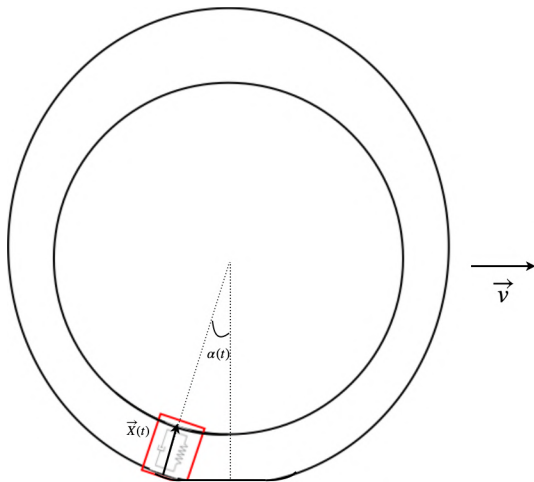


FIGURE 14 – Lorsque la roue tourne

Modèle de contact

Le poids

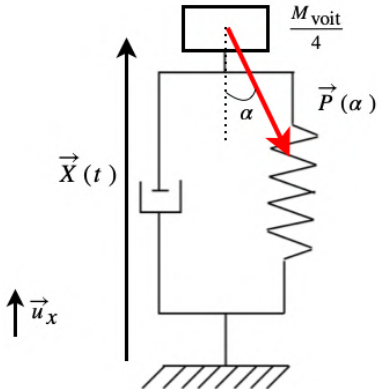


FIGURE 15 – Action du poids

Modèle de contact

Modulation du poids

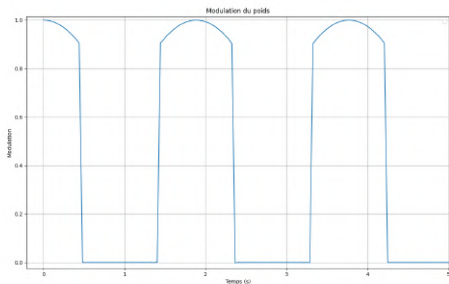
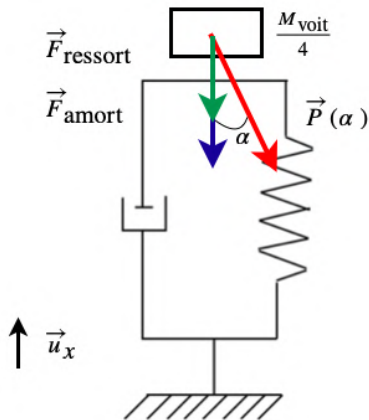


FIGURE 16 – Fonction obtenue par série de Fourier

$$F_{\text{mod}}(t) = \frac{2 \sin(\alpha)}{T} + \sum_{k=1}^{+\infty} \frac{2\alpha}{T} \left[\text{sinc}\left(\left(\frac{2k\pi}{T} + 1\right)\alpha\right) + \text{sinc}\left(\left(\frac{2k\pi}{T} - 1\right)\alpha\right) \right] \cos\left(\frac{2k\pi}{T}t\right)$$

Modèle de contact

Forces extérieures



$$\vec{F}_{\text{amort}} = -\mu \frac{d\vec{X}}{dt}$$
$$\vec{P}(\alpha) \cdot \vec{u}_x = \frac{M_v}{4} g F_{\text{mod}}(t)$$
$$\vec{F}_{\text{ressort}} = -k(X - l_0) \vec{u}_x$$

FIGURE 17 – Bilan des action mécaniques extérieures

Modèle de contact

Equation

Application du Principe Fondamental de la Dynamique :

$$\frac{M_v}{4} \frac{d^2 X}{dt^2} = -k(X - l_0) - \mu \frac{dX}{dt} - \frac{M_v g}{4} F_{\text{mod}}(t)$$

Solution à l'équilibre :

$$X_{\text{eq}} = l_0 - \frac{M_v g}{4k}$$

D'où :

$$\alpha_{\text{max}} = \arccos \left(1 - \frac{g}{R\omega_0^2} \right)$$

Modèle de contact

Equation

Sous forme canonique :

$$\frac{d^2 X}{dt^2} + \frac{\omega_0}{Q} \frac{dX}{dt} + \omega_0^2 X = \omega_0^2 l_0 - g F_{\text{mod}}(t)$$

Où :

$$\omega_0 = \sqrt{\frac{4k}{M_v}} \quad Q = \frac{1}{\mu} \sqrt{\frac{kM_v}{4}}$$

Modèle de contact

Recherche de solution

Transformée de Fourier :

$$X(t) = a_0 + \sum_{k=1}^{+\infty} \left(a_k \cos\left(\frac{2k\pi}{T}t\right) + b_k \sin\left(\frac{2k\pi}{T}t\right) \right)$$

Expression analytique :

$$X(t) = l_0 - \frac{2g \sin(\alpha)}{\omega_0^2 T} - \frac{2g\alpha}{T} \sum_{k=1}^{+\infty} \frac{\text{sinc}\left(\left(\frac{2k\pi}{T} + 1\right)\alpha\right) + \text{sinc}\left(\left(\frac{2k\pi}{T} - 1\right)\alpha\right)}{\left(\omega_0^2 - \left(\frac{2k\pi}{T}\right)^2\right)^2 + \left(\frac{\omega_0}{Q} \frac{2k\pi}{T}\right)^2} \times \left(\left(\omega_0^2 - \left(\frac{2k\pi}{T}\right)^2 \right) \cos\left(\frac{2k\pi}{T}t\right) + \frac{\omega_0}{Q} \frac{2k\pi}{T} \sin\left(\frac{2k\pi}{T}t\right) \right)$$

Modèle de contact : Résultat graphique

Selon le facteur de qualité

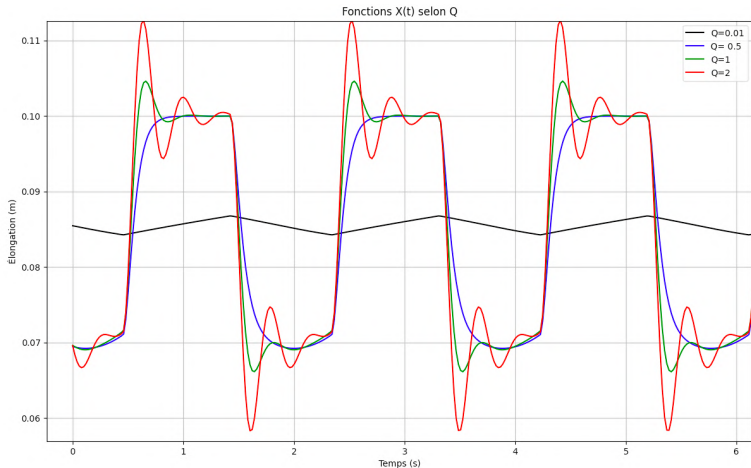


FIGURE 18 – La fonction X selon les valeurs prises par Q

Modèle de contact : Résultat graphique

Selon la pulsation propre

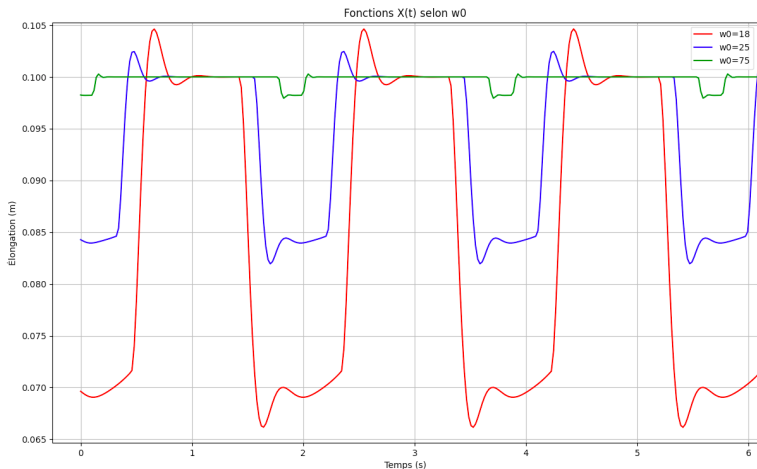


FIGURE 19 – La fonction X selon les valeurs prises par ω_0

Modèle de contact

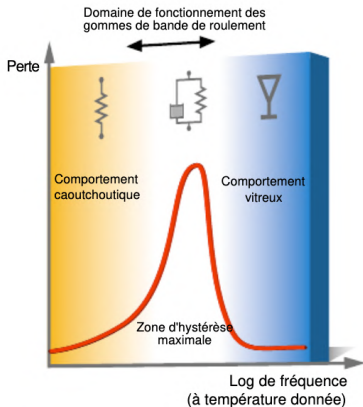
Interprétations

Pour diminuer les variations d'élongations, il faut :

- diminuer $Q = \frac{1}{\mu} \sqrt{\frac{kM_v}{4}}$
- augmenter $\omega_0 = \sqrt{\frac{4k}{M_v}}$
- raideur k plus élevée
- amortissement μ plus élevé

Un caoutchouc qui se déforme moins.

Documentation Michelin



Les cas limites :

$\mu \rightarrow 0$: oscillateur harmonique

$\mu \rightarrow +\infty$: pas de déformation

FIGURE 20 – Document Michelin

<http://automemo.free.fr/10/Adherence-du-pneu1.pdf>

Conclusion

- Gomme plus tendre ► Meilleure adhérence, aquaplaning plus fort, usure prématurée.
- Gomme plus dure ► Perte de contrôle lors des virages, confort passager.

Conclusion

Approfondissement

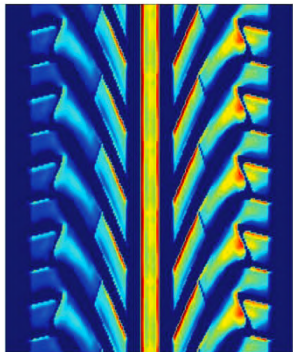


FIGURE 21 – Carte de l'usure

<http://audaces.asso.st/uploads/Presentations/Michelin-SimulationNumerique.pdf>

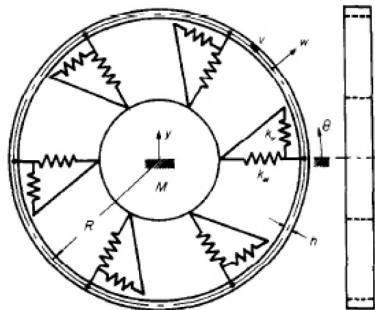


FIGURE 22 – Modèle de KUNG

<https://tel.archives-ouvertes.fr/tel-01137743/document>

ANNEXE

Estimation de la perte de masse

$$V_{\text{perdu}} \times \rho_{\text{caoutc}} \div l_{\text{vie}} = 0,4 \text{ g.km}^{-1}$$

$$V_{\text{perdu}} = 4 \times (8 - 1,6)(2\pi \times 300)(200) = 9,6 \text{ dm}^3$$

$$\rho_{\text{caoutc}} = 1\,200 \text{ kg.m}^{-3}$$

$$l_{\text{vie}} = 40\,000 \text{ km}$$

Particules fines : $4,5 \cdot 10^{-3} \text{ g.km}^{-1}$

Rapport de : 88

Normales : $0,2 \text{ g.km}^{-1}$

Extrêmes : $5,8 \text{ g.km}^{-1}$

Le caoutchouc

Caoutchouc : polymère élastomère.

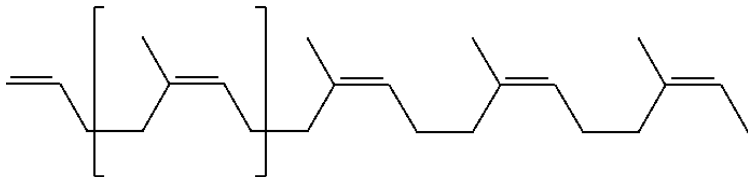


FIGURE 23 – Caoutchouc naturel : polyisoprène

Matériel expérimental

PASCO Capstone



FIGURE 24 – Capteur de force



FIGURE 25 – Capteur à ultrason

Formulaire Fourier

Soit f une fonction T -périodique :

$$f(t) = a_0 + \sum_{k=1}^{+\infty} \left(a_k \cos\left(\frac{2k\pi}{T}t\right) + b_k \sin\left(\frac{2k\pi}{T}t\right) \right)$$

$$a_0 = \frac{1}{T} \int_{-\frac{T}{2}}^{\frac{T}{2}} f(t) dt$$

$$\forall k \in \mathbb{N}^*, a_k = \frac{2}{T} \int_{-\frac{T}{2}}^{\frac{T}{2}} f(t) \cos\left(\frac{2k\pi}{T}t\right) dt$$

$$\forall k \in \mathbb{N}^*, b_k = \frac{2}{T} \int_{-\frac{T}{2}}^{\frac{T}{2}} f(t) \sin\left(\frac{2k\pi}{T}t\right) dt$$

Force de frottement

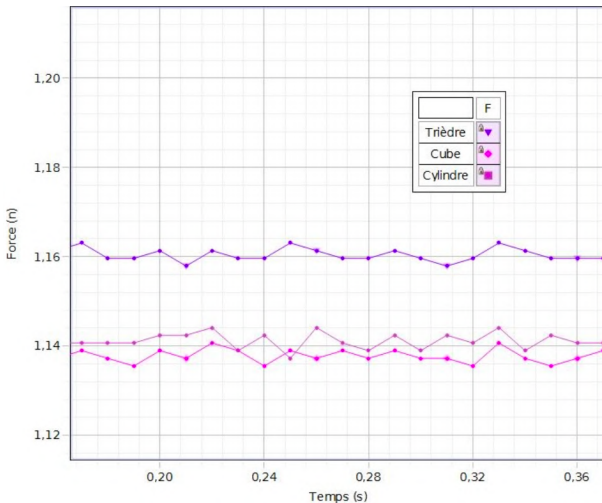


FIGURE 26 – Force de frottement

Hystérésis

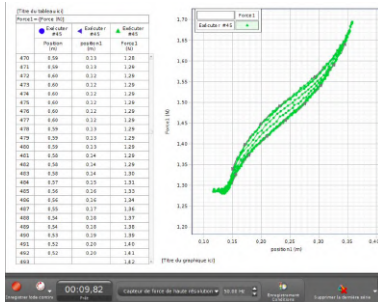
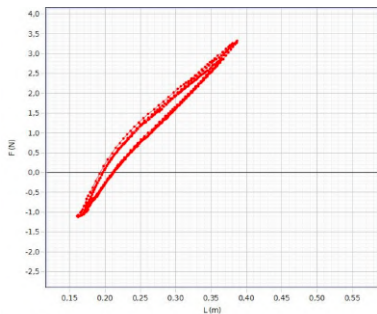


FIGURE 27 – Autres résultats

Programmes Python

```
1 ##import
2 import numpy as np
3 import matplotlib.pyplot as plt
4 import scipy.integrate as integr
5 from math import factorial
6 ##valeurs
7 M=1200 #kg
8 l0 = 0.1 #m
9 R = 0.3 #m
10 g = 10
11 ##coef en cos de F mod
12 def akN(k): #fct paire donc bk = 0
13     if k == 0:
14         return 2*np.sin(alpha)/T
15     else:
16         return (2/T)*(np.sin((p*k+1)*alpha)/(p*k+1) +
17 np.sin((p*k-1)*alpha)/(p*k-1))
18 ##Developpement en Serie de Fourier de F mod
19 def DSF2N(t):
20     res = 0
21     for k in range(2000):
22         res += akN(k)*np.cos(p*k*t)
23     return res
```

FIGURE 28 – Code permettant d'obtenir F_{mod}

Programmes Python

```
40 ##coef en cos de X  
41 def apk(k):  
42     if k == 0:  
43         return (l0*w0**2-g*akN(0))/(w0**2)  
44     else:  
45         W =(w0**2-(k*p)**2)**2 + (w0*k*p/Q)**2  
46         return -g*akN(k)*(w0**2-(p*k)**2)/W  
47  
48 ##coef en sin de X  
49 def bpk(k):  
50     if k == 0:  
51         return 0  
52     else:  
53         W =(w0**2-(k*p)**2)**2 + (w0*k*p/Q)**2  
54         return -g*w0*k*p*akN(k)/(Q*W)  
55  
56 ##Developpement en Serie de Fourier de X  
57 def DSFx(t) :  
58     res = 0  
59     for k in range(500):  
60         res += apk(k)*np.cos(k*p*t) + bpk(k)*np.sin(k*p*t)  
61     return res
```

FIGURE 29 – Code permettant d’obtenir X